

酵母甘油醛-3-磷酸脱氢酶 (GPD) 基因及其启动子的分离和鉴定

肖 蕾* 郎文华 何葆光

(卫生部上海生物制品研究所, 上海)

以大肠杆菌质粒pBR322为载体进行了野生型酿酒酵母(*S.cerevisiae*)的基因组克隆。以人工合成的寡聚核苷酸(3'GTGCGTACATAGATAGAGTA5')为探针进行分子杂交, 分离到的阳性克隆经限制性内切酶酶谱、Southern杂交分析证实, 插入序列中的2.1kb HindⅢ片段含有GPD基因。其中650bp Taq I 片段的部分序列分析结果初步表明, 该区域可能包含了高表达GPD基因的启动子。

关键词 基因克隆, 甘油醛-3-磷酸脱氢酶 (GPD) 基因, 真核启动子, 酵母

甘油醛-3-磷酸脱氢酶 (GPD) 是一种在酵母中含量丰富的蛋白质, 它的含量占面包酵母干重的5%^[1]。在酵母单倍体基因组中有三种编码 GPD 的结构基因^[2], 这三种基因在无性繁殖的酵母细胞中均被转录^[3,4]。而且编码 GPD 的 mRNA 占总的酵母多聚腺苷酸mRNA的2-5%^[5]。在酵母的三种GPD基因中, 有一基因编码的酶占细胞中 GPD 含量的绝大部分^[3,6]。因此, 很可能这种基因是由一个高效率的启动子控制。对这种GPD基因启动子区域的结构、功能分析表明, 在此 GPD 结构基因的5' 旁侧序列中有一个限制性内切酶 Taq I 的片段(650bp长), 它开始于 GPD 基因翻译起始密码ATG上游-24bp 处。此片段包含了在体内实现调控和启动子功能所必需的全部DNA顺序。应用这个 GPD 启动子 650bp Taq I 片段构建的酵母克隆表达载体能够高水平地表达干扰素(I FN- α Con1) 和乙型肝炎表面抗原^[7]。

本文从克隆的酵母基因中筛选并分离了GPD基因及其启动子, 为今后构建酵母表达载体提供条件。

材料和方法

(一) 菌株和质粒

大肠杆菌 DH-1 株 (黎志豪教授赠送); K12 JM103 株购自美国 PL Pharmacia 公司; 酿酒酵母野生型菌株 (上海啤酒厂赠送)。

质粒: pBR322, M13mp8RFDNA 购自美国 BioLabs 公司。

(二) 酶和试剂

Zymolyase-100T 为日本 Seikagaku Kogyo 公司产品, 限制性内切酶Mbo I, BamH I, EcoR I, HindⅢ, Bgl II, Sal I, Taq I, Alu I, Ava II, Hae III, Hha I, Hinf I, Xba I, Sma I, Hpa I, Xba I, Hpa II, Cla I, T4 多核苷酸激酶, 蛋白水解酶均为美国 BRL 公司产品; T4DNA 连接酶为美国 New England BioLabs 公司产品; 碱性磷酸酯酶为美国 Sigma 公司产品。

酵母转移核糖核酸 (tRNA), 核糖

本文于1986年11月24日收到。

* 现地址: 中国医学科学院肿瘤研究所

核酸酶(RNase)为中国科学院生物化学所东风生化试剂厂产品。

[γ - 32 P]ATP(3000Ci/mmol)为美国New England Nuclear公司产品; [α - 35 S]dATP(660Ci/mmol)为中国科学院原子核所产品。

(三) 酵母总DNA的提取

按略加修改的 Cryer 等的方法进行^[8]。每1000ml YEPD 培养物可得约10mg酵母DNA。

(四) 酵母DNA用内切酶Mbo I的部分酶解

按文献[9]进行。酶切后的DNA, 应用电透析法分出6—9kb的组分待用。

(五) 载体DNA的制备

载体pBR322用BamH I完全酶解, 碱性磷酸酶处理去除5'端磷酸。

(六) 连接反应和质粒DNA的转化

0.6 μ g 6—9kb 长度的酵母DNA, 2 μ g 处理后的载体DNA(摩尔数之比为Yeast:pBR322=1:5), 在连接反应缓冲液中, 用T4DNA连接酶, 12°C连接过夜。连接反应产物转化大肠杆菌DH-1感受态细胞(CaCl₂沉淀法^[10])。

(七) 探针的人工合成、纯化和标记

探针的人工合成应用亚磷酸酰胺法^[11], 使用美国 Applied Biosystems公司的380A型DNA自动合成仪由王启松、王胜龙同志合成。去载体分子和保护基团的粗产物用20%聚丙烯酰胺凝胶电泳纯化。纯化的探针用 γ - 32 PATP、T4多核苷酸激酶对其5'端进行标记。醋酸胺终止反应, 游离的 γ - 32 PATP通过二次酒精沉淀除去^[12]。

(八) 菌落的原位杂交

按Berent等的方法进行^[13]。 32 P标记的寡核苷酸探针的比活为 3×10^8 cpm/ μ g DNA, 用量2ng/ml杂交液。

杂交温度: $T_H = T_D - 5^\circ\text{C} = (2 \times 12 + 4 \times 8) - 5 = 51^\circ\text{C}$, $T_D = 2^\circ\text{C} \times (\text{A-T碱基对数目}) + 4^\circ\text{C} \times (\text{G-C碱基对数目})$

(九) Southern转移分析

按Southern的方法^[14], 将DNA转至硝酸纤维素膜上, 用标记的合成探针(比活性 1.1×10^9 cpm/ μ gDNA, 10^5 — 10^6 cpm/ml杂交液)进行杂交^[13]。

(十) DNA序列分析

将限制性内切酶 Hind III 酶解产生的2.1Kb DNA片段克隆到 M13mp8RFDNA载体上, 以人工合成的寡核苷酸作为引物, 用 α - 35 SdATP, 按照 Sanger 的双脱氧核苷酸终止法对克隆的DNA片段进行序列分析^[15]。

结果和讨论

(一) 酵母基因组DNA的克隆

为了获得最大比例的重组克隆, 在保持连接反应中DNA总浓度基本不变的情况下, 研究了载体DNA和酵母DNA插入片段之间反应摩尔数的改变对重组克隆比例的影响。实验结果表明(表1), 当载体

表1 反应摩尔数之比与重组克隆效率的关系

Table 1 Relationship between molar ratio of reactants and transformation efficiency of recombinant clones

反应摩尔数之比 Molar ratio of reactants	重组克隆所占百分比 Percentage of recombinant clones(%)
pBR322(10):Yeast DNA(1)	47.50
pBR322(7):Yeast DNA(1)	58.18
pBR322(5):Yeast DNA(1)	74.70
pBR322(2):Yeast DNA(1)	65.38

DNA浓度: 34 μ g/ml

DNA和DNA插入片段之间的反应摩尔数之比为5:1时,可以得到最多的重组克隆。

载体DNA和经部分酶解的酵母DNA连接、转化大肠杆菌DH-1感受态细胞后,得到近万个克隆。其中重组克隆在全部转化克隆中所占的比例在75%—98%之间。插入酵母基因片段的重组质粒,具有Ampicillin(Amp)抗性,但对四环素(T_c)敏感。随机挑取部分Amp抗性、T_c敏感的克隆,用快速细胞破碎法^[16]检查所含质粒DNA的分子大小。从结果可知,质粒中确实插入了大小不等的酵母基因片段(图版I-1)。

(二) 菌落的原位杂交

根据Bitter, Egan提供^[7]的高表达GPD基因5'启动子的DNA顺序,选择了一长度为20个核苷酸的DNA序列3'-GT-GCGTACATAGATAGAGTA-5'作为筛选GPD基因及其启动子的探针。对约4000个克隆进行菌落原位杂交,得到二个阳性菌落。将这两个菌落进行单菌落分离,分离出的单菌落再以同样的探针进行复证,所有菌落均为杂交阳性(图版I-4)。表明初次杂交所得克隆为纯克隆。

(三) 质粒pgap3的物理图谱

二个阳性克隆之一的重组质粒pgap3使用9种不同的限制性内切酶(EcoR I, Hind III, BamH I, Bgl II, Xba I, Xho I, Hpa I, Sal I, Sma I)进行单酶解和双酶解(图版I-3)。从单酶解产生的DNA片段数目可知此酶的酶切位点数;以双酶解产生的DNA片段大小与单酶解时的DNA片段大小的比较,可推出各种酶的酶切位点在DNA片段上的分布(表2)。质粒pgap3的物理图谱如图1所示。

BamH I, Bgl II单酶解时产生大小一样的一个DNA带。由于质粒载体pBR322的BamH I位点已被破坏,且pBR322不具

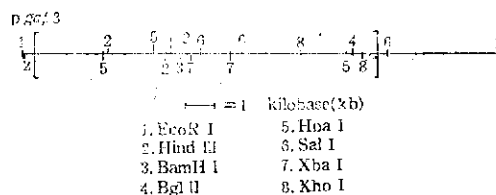


图1 质粒pgap3的物理图谱
Fig.1 Physical map of plasmid pgap3

备Bgl II位点,由此可知BamH I、Bgl II位点均在克隆的酵母基因片段上。再由BamH I、Bgl II联合酶解的结果,可以知道BamH I、Bgl II的相对位置,但还不能确切地知道这二个酶切位点的具体位置。EcoR I单酶解时产生二条DNA带。因为载体pBR322上有一个EcoR I位点,所以在克隆的酵母基因片段上只有一个此酶的酶切位点。EcoR I位点在载体上的位置

表2 pgap3限制性内切酶切片段分子量
Table 2 Molecular weight of restriction endonuclease cleavage fragments of pgap3

限制性内切酶 Endonuclease	片段分子量(kb) Molecular weight of fragments (kb)				
	I	II	III	IV	V
BamH I	15.49				
Bgl I	15.49				
Bgl II-BamH I	10.00	5.75			
EcoR I	10.72	4.68			
EcoR I-BamH I	10.47	4.68	0.25		
EcoR I-Bgl I	6.16	4.68	4.80		
Hind III	10.23	2.45	2.09	0.71	
Hind III-BamH I	10.23	2.45	2.09	0.46	0.25
Hpa I	7.24	6.55	1.66		
Hpa I-BamH I	7.24	5.48	1.66	1.07	
Hpa I-Bgl I	6.55	4.55	2.69	1.66	
Sal I	9.36	4.68	1.41		
Sal I-BamH I	8.71	4.68	1.41	0.66	
Xba I	14.13	1.32			
Xba I-BamH I	13.80	1.32	0.33		
Xba I-Bgl I	10.00	4.17	1.32		
Xba I-EcoR I	9.12	4.68	1.32	0.40	
Xho I	13.22	2.04			
Xho I-BamH I	9.59	3.63	2.04		
Xho I-Bgl I	13.22	1.78	0.26		

是确定的,因此,从EcoR I /BamH I,EcoR I /Bgl II 的各自双酶解产物,就可确定EcoR I、BamH I、Bgl II 在酵母基因克隆片段上的位置。以此类推,可以知道其他5种内切酶(Sal I,Xho I,Xba I,Hpa I,Hind III)位点在重组质粒上的分布。Sma I的单酶解产物不同于其他酶,类似于完整的环状质粒DNA; Sma I与其他几种酶的双酶解产物又与这几种酶单酶解时的结果一致。说明在质粒pgap3上没有Sma I位点。

(四) GPD基因的分离和鉴定

对二个杂交阳性克隆的质粒pgap3,pgap10用Hind III,Xho I,Hpa I酶解,然后进行Southern杂交分析。从电泳图上可以看到,这二个质粒的Hind III酶切,均产生大小各为2.1kb 2.45kb的两条DNA带,而且2.1kb条带在Southern杂交分析中呈阳性结果(图片II-1)。对来自两个不同质粒的2.1kb Hind III片段的进一步分析表明,二者具有完全一致的内切酶谱,且这

一内切酶谱与文献[17]报道的2.1kb Hind III片段(GPD基因)的内切酶谱一致(图版II-3)。

(五) GPD基因启动子(650bp Taq I片段)的分离和次级克隆

上述分离到的2.1kb Hind III片段除含有编码GPD的结构基因外,还包括基因的5'端、3'端的非编码区。在GPD结构基因起始密码ATG上游-24bp和-674bp处各有一Taq I酶切位点,由此产生的650bp Taq I片段就是GPD基因的功能性启动子。我们所使用的寡核苷酸探针恰好位于此启动子的中部(-245bp---264bp)。

2.1kb Hind III片段的Southern杂交分析结果(图版II-4)表明,在内切酶Taq I的酶解产物中,大小为650bp的DNA片段呈杂交阳性。对650bp Taq I片段的DNA序列分析(图版II-2和图2)证明,由上述2.1kb Hind III片段中分离得到的GPD基因启动子具有与文献报道的高表达GPD基因启动子完全一致的DNA顺序。

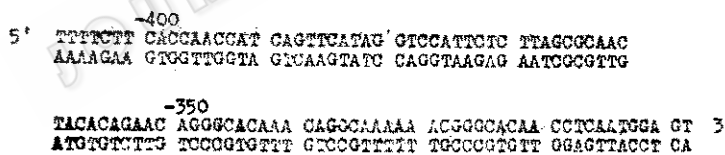


图2 650bp Taq I片段的部分核苷酸顺序
Fig.2 Partial nucleotide sequence of 650bp Taq I fragment

以pBR322为载体,对分离到的GPD基因启动子进行次级克隆。转化大肠杆菌后得到的转化子进行杂交筛选。阳性克隆的快速质粒分析如图版I-2所示,其中插有650bp片段。

通过DNA分子杂交,酶谱分析,Sou-

thern转移分析,以及DNA序列测定,已初步确定了一个GPD高表达基因的启动子。但由于酵母中沉默基因(Silent gene)的存在,因此,对这一GPD基因启动子的进一步确证有待于其功能的研究。

参考文献

- [1] Krebs E.G., *J.Biol.Chem.*, 200:471, 1953.
- [2] Holland, J.P. & Holland, M.J., *J. Biol. Chem.*, 254:5466, 1979.
- [3] Holland, J.P. et al., *J.Biol. Chem.*, 258:5291, 1983.
- [4] Musti, A.M. et al., *Gene*, 25:133, 1983.

- [5] Holland, M.J. & Holland, J.P., *Biochemistry*, 17:4900, 1978.
- [6] Jones, G.M.T. & Harris, J.I., *FEBS Lett.*, 22:185, 1972.
- [7] Bitter, G.A. & Egan, K.M., *Gene*, 32:263, 1984.
- [8] Cryer, D.R. et al., *Methods Cell Biol.*, 12:39, 1975.
- [9] Maniatis, T. et al., *Molecular Cloning A Laboratory Manual*, New York, Cold Spring Harbor Laboratory, 1982.
- [10] Bolivar, F. & Backman, K., *Methods Enzymol.*, Vol.66, p245, Academic Press, New York, 1979.
- [11] Matteucci, M.D. & Caruthers, M.H., *J. Am. Chem. Soc.*, 103:3185, 1981.
- [12] Maxam, A.M. & Gilbert, W., *Methods Enzymol.*, Vol.65, p499, Academic Press, New York, 1980.
- [13] Berent, S.L. et al., *Biotechniques*, p.208, 1985.
- [14] Southern, E.M., *J. Mol. Biol.*, 98:503, 1975.
- [15] Biggin, M.D. et al., *Proc. Natl. Acad. Sci. U.S.A.*, 80:3963, 1983.
- [16] Birnboim, H.C. et al., *Nucl. Acids Res.*, 7:1513, 1979.
- [17] Holland, J.P. & Holland, M.J., *J. Biol. Chem.*, 254:9839, 1979.

THE ISOLATION AND CHARACTERIZATION OF CLONED GLYCERALDEHYDE-3-PHOSPHATE DEHYDROGENASE(GPD)GENE AND ITS PROMOTER FROM SACCHAROMYCES CEREVISIAE

Xiao Lei Long Wenhua Ho Baoguang

(Shanghai Institute of Biological Products, Ministry of Public Health, Shanghai)

A wild type genomic DNA from *S. cerevisiae* has been cloned into *E. coli* vector pBR322. Positive clones have been selected by using a synthetic oligodeoxynucleotide probe, 3'-GTGCGTACAT AGATAGAGTA-5'. By means of restriction endonuclease mapping and Southern hybridization, a 2.1kb HindIII fragment among them has been identified to contain the GPD gene sequence. The promoter (650bp Taq I fragment) from the 2.1kb HindIII fragment showed a complete sequence homology with that of the promoter of the high expression GPD gene.

Key words

Gene cloning; glyceraldehyde-3-phosphate dehydrogenase(GPD)gene;
eukaryotic promoter;yeast

图版 I 说明

1. 转化子中质粒DNA的大小 (HindⅢ酶切)

The size of plasmid DNA in transformants(HindⅢ digestion) a—o:Tc sensitive transformants; *: λ DNA; p,q:pBR322; 1% agarose gel

2. 快速质粒分析 (5%聚丙烯酰胺胶)

Minilysis of plasmids

a. pBR322/HpaⅠ; b. pBR322/TaqⅠ; c. Recombinant plasmid/TaqⅠ.
(5% polyacrylamide gel)

3. 质粒pgap3 的限制内切酶电泳图谱 (部分)

Restriction endonuclease mapping of plasmid pgap3 (partial)a, λ /HindⅢ, b,SalⅠ, c, BamHⅠ, d, HindⅢ, e, HindⅢ-EcoRⅠ, f, HindⅢ-BamHⅠ, g, HindⅢ-BglⅡ, h, HindⅢ-XhoⅠ, i, HpaⅠ, j, HpaⅠ-BglⅡ, k, HpaⅠ-BamHⅠ, l, HpaⅠ-EcoRⅠ, m, HpaⅠ-XhoⅠ, n, XhoⅠ, o, XhoⅠ-BamHⅠ, p, XhoⅠ-EcoRⅠ, q, XhoⅠ-SalⅠ, r, XhoⅠ-BglⅡ, 1% agarose gel

4. 克隆杂交的放射自显影 (第二次)

The radioautograph of colony hybridization (second time)

图版 I 说明

1. 质粒pgap3, pgap10的Southern杂交分析

Southern hybridization of plasmids pgap3, pgap10 a, λ /HindⅢ; b—d, pgap3, e—g, pgap10; b,e, HindⅢ; c,f, HpaⅠ; d,g, XhoⅠ, 1% agarose gel

2. 650bp TaqⅠ 片段的DNA序列分析——放射自显影 (部分)

DNA sequencing of 650bp TaqⅠ fragment—Radioautograph(partial)(8% polyacrylamide gel)

3. 2.1kb HindⅢ 片段的限制内切酶电泳图谱

Restriction endonucleotide mapping of 2.1kb-HindⅢ fragment a, HinfⅠ, b, TaqⅠ, c, HpaⅠ, d, AvaⅠ, e, HaeⅢ, f, HpaⅠ, g, pBR322/HpaⅠ, h, AluⅠ, i, HhaⅠ, 5% polyacrylamide gel

4. 2.1kb HindⅢ 片段的Southern杂交分析

Southern hybridization of 2.1kb HindⅢ fragment

a. λ /HindⅢ; b, HhaⅠ; c, AluⅠ; d, HpaⅠ; e, HaeⅢ; f, AvaⅠ; g, HpaⅠ, h, TaqⅠ, i, HinfⅠ; j, λ /HindⅢ-EcoRⅠ.
1.5% agarose gel